

스카라형 로보트의 파라미터 보정에 의한 궤적 계획에 관한 연구

○ 최연호* 한상완** 길진수** 홍식교*

*: 아주대학교 제어계측공학과 **: 아주대학교 전자공학과

A study on the trajectory planning using compensation of parameter for the SCARA type ROBOT

○ Yeon-Ho Choi*, Sang-Hwan Han ** Jin-Su Gil** Suk-Kyo Hong*

* Dept. of Control & Instrumentation Eng. AJOU University

** Dept. of Electronics Eng. AJOU University

Abstract

Robot's kinematic equation is not perfect. In this paper, a method for reducing the positioning error which comes from the imperfect robot kinematics is introduced. This method compensates the parameter of the kinematic equation using real positioning error. And the trajectories using these compensated parameter are compared with uncompensated ones.

II 파라미터 보정

기구학 방정식 및 역기구학 방정식이 불안전하기 때문에 기구학 방정식이 로보트의 정확한 모델이 아니거나 링크 파라미터에 오차가 발생하는 경우 구해지는 역기구학 방정식은 불안전하게 되며, 로보트는 위치오차가 생기게 된다. 위치정밀도 개선을 위해서는 로보트의 기구학 및 역기구학의 조정이 필요하다. 이를 위하여 로보트의 기구학 모델을 정확히 만들어 주어야 한다. 로보트의 링크좌표 시스템에서 평행인 두축 Z_{i-1} 와 Z_i 가 약간 어긋난 경우 그림1에서와 같이 Z_i 축은 Y_1 축에 대해 β_1 만큼 회전시키는 것으로 표시 할 수 있다. 본 논문에서 사용된 SCARA 로보트는 모든 Z축들이 평행이므로 이 오차는 실제의 위치결정에 있어 큰오차의 요인으로 작용할 수 있다.

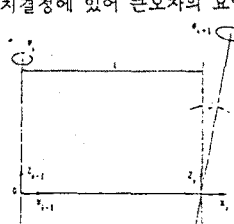


그림 1. 링크 좌표 시스템

그러므로 D-H 표기법은 다음과 같이 된다.

$$A_i = \begin{bmatrix} C\alpha_i C\beta_i - S\alpha_i S\beta_i & -S\alpha_i C\alpha_i C\beta_i + S\beta_i S\alpha_i C\beta_i & a_i C\alpha_i \\ C\alpha_i C\beta_i + S\alpha_i S\beta_i & C\alpha_i C\alpha_i S\beta_i - C\beta_i S\alpha_i C\beta_i & a_i S\alpha_i \\ -C\alpha_i S\beta_i & S\alpha_i & C\alpha_i C\beta_i \\ 0 & 0 & 0 \\ 0 & 0 & 1 \end{bmatrix}^{(3,1)}$$

이를 이용하면 기구학 방정식은 $A_0^n = A_0 A_1^2 A_2^2 A_3^2 \dots A_{n-1}^2$ 로 표시된다. 조인트 변위 θ 와 링크 파라미터 a, β, a, d 에 약간의 오차가 있어도 이를 이용하여 해석된 로보트의 기구학 방정식으로는 정확한 로보트 손의 위치(end point)를 구할 수 없다. 조인트 변위값에 대하여 계산된 위치와 실제 로보트가 움직인 위치사이의 위치 오차는 조인트 변위오차($\Delta\theta$)와 링크 파라미터 오차($\Delta a, \Delta \beta, \Delta d$)들로 모델링 될 수 있다. 식(3-1)의 파라미터들의 오차를 포함하게 되면

$$A^c = ROT(Z_{i-1}, \theta_i + \Delta\theta_i) TRANS(a_i + \Delta a_i, 0, d_i + \Delta d_i) ROT(X_i, \alpha_i + \Delta\alpha_i) ROT(Y_i, \beta_i + \Delta\beta_i) \quad (3,2)$$

$$= \begin{bmatrix} R_{11} & R_{12} & R_{13} & P_x \\ R_{21} & R_{22} & R_{23} & P_y \\ R_{31} & R_{32} & R_{33} & P_z \\ 0 & 0 & 0 & 1 \end{bmatrix}$$

$$\begin{aligned} R_{11} &: C(\theta_i + \Delta\theta_i)C(\beta_i + \Delta\beta_i) - S(\theta_i + \Delta\theta_i)S(\alpha_i + \Delta\alpha_i)S(\beta_i + \Delta\beta_i) \\ R_{12} &: -S(\theta_i + \Delta\theta_i)C(\theta_i + \Delta\theta_i)C(\alpha_i + \Delta\alpha_i) \\ R_{13} &: C(\theta_i + \Delta\theta_i)S(\beta_i + \Delta\beta_i) + S(\theta_i + \Delta\theta_i)S(\alpha_i + \Delta\alpha_i)C(\beta_i + \Delta\beta_i) \\ P_x &: (a_i + \Delta a_i)C(\theta_i + \Delta\theta_i) \end{aligned}$$

$$R_{21} : S(\theta_i + \Delta\theta_i)C(\beta_i + \Delta\beta_i) + C(\theta_i + \Delta\theta_i)S(\alpha_i + \Delta\alpha_i)S(\beta_i + \Delta\beta_i)$$

$$R_{22} : C(\theta_i + \Delta\theta_i)C(\alpha_i + \Delta\alpha_i)$$

$$R_{23} : C(\theta_i + \Delta\theta_i)S(\alpha_i + \Delta\alpha_i)C(\beta_i + \Delta\beta_i)$$

$$P_Y : (\alpha_i + \Delta\alpha_i)S(\beta_i + \Delta\beta_i)$$

$$R_{31} : -C(\alpha_i + \Delta\alpha_i)S(\beta_i + \Delta\beta_i)$$

$$R_{32} : S(\alpha_i + \Delta\alpha_i)$$

$$R_{33} : C(\alpha_i + \Delta\alpha_i)C(\beta_i + \Delta\beta_i)$$

$$P_Z : d_i + \Delta d_i$$

가되며 수정되어지는 기구학 방정식은 $A_{c1}=A_{c1}^1 A_{c1}^2 A_{c2}^3 A_{c3}^4$ --- A_{cN-1}^n 로 표시할 수 있다. 링크 파라미터의 미소오차에 대해 $\sin(\Delta\theta)=0, \cos(\Delta\theta)=1$ 로 놓고 2차 이상의 미소 오차항은 무시하기로 한다. X^c행렬의 위치 벡터를 $\bar{P}_c = (P_x^c, P_y^c, P_z^c)^T$ 라 하고 X^c행렬의 위치 벡터를 $\bar{P} = (P_x, P_y, P_z)^T$ 라 하면 위치 오차 벡터 dP 는 다음과 같이 나타낼 수 있다.

$$\begin{bmatrix} \Delta X \\ \Delta Y \\ \Delta Z \end{bmatrix} = \begin{bmatrix} P_x^c \\ P_y^c \\ P_z^c \end{bmatrix} - \begin{bmatrix} P_x \\ P_y \\ P_z \end{bmatrix} \quad (3.3)$$

위치 오차벡터 dP 는 주어지는 조인트 변위값에 대한 위치벡터를 측정한 값과 기구학 방정식에 의해 계산되는 위치 벡터 값의 차로 구해진다. 파라미터 위치벡터 X를 식(3.4)와 같이 정의 하면 위치오차벡터는 식(3.5)와 같이 나타낼 수 있다.

$$\bar{X} = (\Delta\theta_1, \Delta\alpha_1, \Delta\beta_1, \Delta\alpha_1, \Delta\theta_2, \Delta\alpha_2, \Delta\beta_2, \Delta\alpha_2, \Delta\beta_3) \quad (3.4)$$

$$dP = M \bar{X} \quad (3.5)$$

식(3.5)에서 M은 3xN행렬로서 위치 오차벡터와 파라미터 위치벡터의 관계를 나타내는 식으로 구성되며 N은 파라미터 위치의 갯수를 나타낸다. SCARA로보트의 X-Y평면상의 위치 정밀도 개선을 위해 식(3.3)을 적용하게되면 식(3.5)는 다음과 같다.

$$\bar{dP} = \begin{bmatrix} \Delta X \\ \Delta Y \end{bmatrix}$$

$$M = \begin{bmatrix} -a_2(S_0(C_02+C_01S_02)) - a_1S_0 & -d_1C_0 & d_2C_0 & C_0 & -a_2(S_0(C_02+C_01S_02)) \\ a_2(C_01C_02-S_01S_02) - a_1C_0 & -d_3C_0 & d_3S_0 & S_0 & a_2(C_01C_02-S_01S_02) \\ d_3(S_0(C_01+S_01S_02)) & d_3(C_01C_02-S_01S_02) & C_0(C_02-S_01S_02) & C_0(C_02-S_01S_02) \\ -d_3(C_01C_02-S_01S_02) & d_3(S_0(C_01+C_01S_02)) & S_0(C_02+C_01S_02) & S_0(C_02+C_01S_02) \end{bmatrix}$$

$$dP = M \bar{X} = [\Delta\theta_1 \Delta\alpha_1 \Delta\beta_1 \Delta\alpha_1 \Delta\theta_2 \Delta\alpha_2 \Delta\beta_2 \Delta\alpha_2 \Delta\beta_3]^T \quad (3.6)$$

식(3.6)에서 $\Delta\theta$ 에 대한 항은 2차 이상이므로 \bar{X} 벡터에서 제외됨을 알 수 있다. 한점에 대한 측정으로 $\Delta x, \Delta y$ 에 대한 2개의 식을 얻을 수 있으므로 잇식에서와 같이 9개의 파라미터 오차를 구하기 위해서는 5개이상의 점에 대한 정정이 필요하다. 이렇게 구해진 파라미터 오차항들을 기구학 방정식에 추가시킴으로써 수정된 기구학 방정식을 얻을 수 있으며 이를 다시 반복계산함으로써 더욱 정확한 기구학 방정식을 얻을 수 있다. 이번에는 보정된 기구학 방정식을 이용하여 역기구학 방정식의 해를 구하는 방법을 생각해 보자. 이를 위하여 주어지는 목표점에 대한 조인트 변위값을 보정되지 않은 기구학 방정식으로부터 구하고 구해진 조인트 변위값을 수정된 기구학 방정식에 대입하여 실제 로보트가 이동하게 되는 정확한 위치를 계산한다. 계산되어진 위치와 목표점사이의 위치오차 $\Delta x, \Delta y$ 를 계산하고 이를 이용하여 그림2에서와 같이 보정된 목표점을 구한다. 여기서 $\Delta x = P_{rx} - P_x, \Delta y = P_{ry} - P_y$ 으로 구해지며 보정되는 목표점은 $P_{rx} = P_x - \Delta x, P_{ry} = P_y - \Delta y$ 로 구해진다. 이렇게 보정된 목표점에 대한 조인트 변위값을 보정전의 기구학 방정식으로부터 구함으로써 보정된 조인트 변위값을 구할 수 있다.

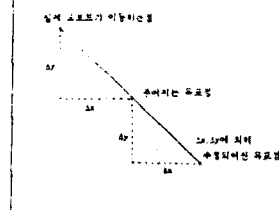


그림 2. 보정된 기구학 방정식을 이용한 목표점의 보정 – 308 –

III. 파라미터 보상을 이용한 궤적 계획 및 방법

본 논문에서는 주어진 허용 오차 내에서 균사화된 직선운동을 위한 경로점들을 그림3처럼 Taylor의 BDM(Bounded Deviation Method) [2] [7] 알고리즘을 이용하여 결정하였다. 경로점들 중 (knot point)들 중 모든 점을 보상하기는 곤란 하였기 때문에 허용오차 0.2mm인 경우 그림2와 같은 방법으로 8점을 보상하였으며, 허용오차 0.1mm인 경우 12점을 보상하였으며, 허용오차 0.05mm인 경우에는 20점을 보상하여 보상한 경우의 궤적과 보상하지 않은 경우의 궤적을 토보트로 하여금 직접 그리게 해서 비교하였다.

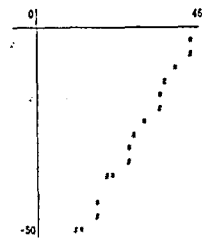


그림 3. 궤적의 보상점(*)과 가야할점(*)

본 논문에서는 파라미터 보정을 위하여 그림4에 표시한 점들을 이용하였다. 그리고 실제 엔코더 평스를 읽은 궤적도 그려 보았다. 편의상 모든 궤적의 출발점은 (X, Y)좌표가 (460, 0)[mm]이 되도록 하였다.

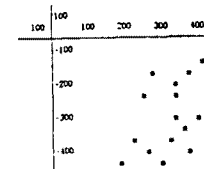


그림 4. 작업역역 내에서의 위치 및 파라미터 보정을 위한 측정점

* 파라미터 보정에 의한 위치 정밀도 개선 결과

앞에서 제시한 방법을 확인하기 위해 본 논문에서는 Rhino SCARA로보트를 사용하였으며 이에 대한 링크 좌표 시스템과 동작범위는 그림1에 나타내었다.

이 미소파라미터 값들을 구하기 위해서 이용한 점들은 표1과 표3에 나타내었고 구한 미소파라미터 값들은 표4과 표6에 나타내었다. 표2와 표4에서 구한 미소파라미터들의 평균값을 표5에 나타내었다.

표 1. 위치 정밀도 개선 결과

POSITION		보정전			보정후		
X	Y	Δx	Δy	Δr	Δx_c	Δy_c	Δr_c
320.3	-320.3	-1.1	0.3	1.11	0.5	-0.2	0.51
351.0	-294.6	-1.2	0.8	1.45	-0.4	0.3	0.44
384.6	-245	0.9	1.2	1.25	0.8	-0.4	0.87
291.2	-347.0	1.5	0.9	1.52	-1.1	-0.4	1.12
457.5	-63.0	1.2	0.2	1.22	0.8	0.5	0.83

$$\Delta r = \sqrt{(\Delta x^2 + \Delta y^2)}$$

$$\Delta r_c = \sqrt{(\Delta x_c^2 + \Delta y_c^2)}$$

표 2. 파라미터 오차 결과

i	$\Delta\theta_i$	$\Delta\alpha_i$	$\Delta\beta_i$	$\Delta\delta_i$
1	-0.0043	0.0051	-0.0023	1.872
2	-0.0061	0.0042	0.0073	1.213
3	0	0.0031	0	0

표 3. 위치 정밀도 개선 결과

POSITION		보정전		보정후		
X	Y	ΔX	ΔY	ΔR	$\Delta \Delta c$	$\Delta \Delta c$
404.5	-210.6	1.1	0.5	1.22	-0.1	0.4
378.8	-241.3	-1.2	0.8	1.54	-0.6	0.4
340.4	-285.6	1.6	1.1	1.73	-0.9	-0.6
361.8	-277.6	1.3	0.7	1.48	0.8	0.2
320.3	-320.3	-1.1	0.3	1.11	0.5	-0.2
		$\Delta R = \sqrt{(\Delta X^2 + \Delta Y^2)}$		$\Delta \Delta c = \sqrt{(\Delta \Delta c_x^2 + \Delta \Delta c_y^2)}$		

$$\Delta R = \sqrt{(\Delta X^2 + \Delta Y^2)} \quad \Delta \Delta c = \sqrt{(\Delta \Delta c_x^2 + \Delta \Delta c_y^2)}$$

표 4. 파라미터 오차 결과

i	$\Delta \theta_1$ (rad)	$\Delta \theta_2$ (rad)	$\Delta \theta_3$ (rad)	Δa_1 (mm)
1	-0.0075	0.0068	-0.0017	1.536
2	-0.0039	0.0027	0.0047	0.891
3	0	0.0043	0	0

표 5. 파라미터 오차 평균 결과

i	$\Delta \theta_1$ (rad)	$\Delta \theta_2$ (rad)	$\Delta \theta_3$ (rad)	Δa_1 (mm)
1	-0.0059	0.00595	-0.002	1.704
2	-0.005	0.00345	0.006	1.052
3	0	0.0037	0	0

보정되어진 기구학 방정식의 위치벡터는 다음과 같이 나타난다.

$$P_x^c = (-a_2 S_{012} - a_1 S_{01}) \Delta \theta_1 + (d_3 S_{01}) \Delta \theta_1 + (d_3 C_{01}) \Delta \theta_1 + (C_{01}) \Delta a_1 + (-a_1 S_{012}) \Delta \theta_2 + (d_3 S_{012}) \Delta \theta_2 + (d_3 C_{012}) \Delta \theta_2 + (C_{012}) \Delta a_2 + (C_{012}) \Delta \theta_3 + a_2 S_{01} S_{02} - a_2 C_{01} C_{02} - a_1 C_{01}$$

$$P_y^c = (a_2 C_{012} + a_1 C_{01}) \Delta \theta_1 + (-d_3 C_{01}) \Delta \theta_1 + (d_3 S_{01}) \Delta \theta_1 + (S_{01}) \Delta a_1 + (a_2 C_{012}) \Delta \theta_2 + (-d_3 C_{012}) \Delta \theta_2 + (d_3 S_{012}) \Delta \theta_2 + (S_{012}) \Delta a_2 + (S_{012}) \Delta \theta_3 - a_1 S_{01} - a_2 S_{01} C_{02} - a_2 C_{01} S_{02}$$

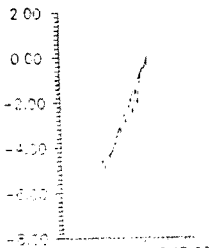


그림 6. 허용오차(0.2)

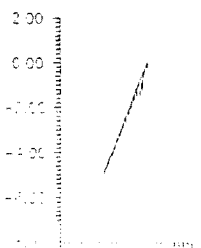


그림 7. 허용오차(0.1)

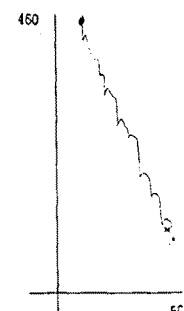


그림 8. 보상전 허용오차(0.2) 그림 9. 보상후 허용오차(0.2)

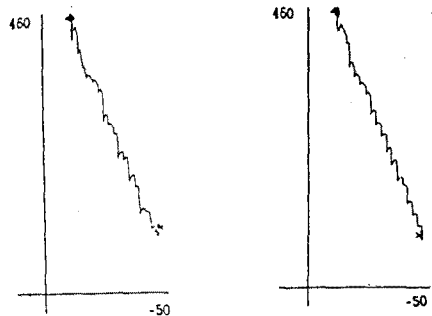


그림 10. 보상전 허용오차(0.1) 그림 11. 보상후 허용오차(0.1)

본 논문에서는 SCARA 로보트 전용 제어기 대신에 IBM PC/AT 와 인터페이스된 제어기를 제작하여 실험을 하였다. PC는 매 샘플링 시간마다 위치와 속도를 계산하고, 그 위치와 속도를 PI 제어기로 보내어 모터를 제어한다. 모터의 엔코더에서 나오는 멀스를 카운터 회로로 입력하여 모터의 회전각도를 계산하였고, 모터의 회전 방향 판별 회로와 채비 회로, 그리고 간단한 리미트 스위치 검출 회로도 제작하였다. 또한 8253 PIT 를 사용하여 PWM신호를 발생하여 모터의 속도 제어를 하였으며 모터 드라이브 회로도 제작하였다. Rhino SCARA로보트에 장착된 모터에는 1회전에 120개의 엔코더 멀스를 출력하는 인크리먼탈 엔코더와 축1모터의 기어비 192/1, 축2모터의 기어비 98.75/1인 기어 박스가 각각 부착 되어있다. 또한 모터와 실제 로보트의 축을 연결해주는 쇼인에 의해 회전량이 1/4로 줄어들므로 모터에서 실제 로보트의 회전축에 전달되는 회전량의 최종 감쇄비는 축1이 768/1, 축2가 395/1이된다. 그러므로 각 회전축의 분해능은 복1이 0.006°, 축2가 0.0115°가 된다. 반복정확도(repeatability)는 평균 0.5mm였던 것이다.

VI. 결론

본 논문에서는 SCARA로보트의 위치 정밀도 개선을 위하여 기구학 방정식을 보정하는 방법을 이용하였다. 이방법은 로보트에 나타나는 위치오차만을 추정함으로써 링크 파라미터의 오차를 계산하고 개선된 조인트 변위값을 구할 수 있다. 실험 결과 오차는 0.5mm정도로 줄일 수 있었으며 반복정확도가 최대1mm인 것과 축정오차를 감안한다면 이 결과치는 만족스러운 것이라 할 수 있다. 이론상의 정밀도 개선과 실제 결과치는 약간의 오차가 있었는데도 이의 주요한 원인으로 추정상의 오차와 기구학 방정식 모델의 불완전함을 생각 할 수 있다. 그러므로 정밀한 축정장비로 더 정확한 측정이 가능하고 오차 파라미터가 포함된 기구학 방정식 모델을 구해준다면 실제 이론치에 가까운 정밀도 향상을 보일 수 있다.

[참고 문헌]

- [1] Paul, R.C. 1979, "Manipulator Cartesian Path Control," IEEE Trans. Sys. Man cyber, Vol Smc-9
- [2] R.H.Taylor, "Planning and Execution of Straight line Manipulator Trajectories" IBMJ, Res Develop, Vol. 23,
- [3] K.S.Fu, R.C.Gonzalez, and C.S.G.Lee, "Robotics Control, Sensing, Vision, and Intelligence.", McGraw-Hill Book company, 1988.
- [4] Y.H.Chang and T.I.Lee and C.H.Lih, "On-line cartesian path trajectory planning for Robot manipulator.", IEEE INT. Conf on Robotics.
- [5] Ralph,H.Cartesia and Richard. P.Paul, "An on-line dynamic trajectory Generator.", INT.J.Robotics Research, 3, p68-72, 1984.
- [6] Chi Haur Wu "Design of Robot Accuracy compensator after calibration IEEE Robotics and Automation conf 1987.
- [7] John,F.jarvic "Cartesian of Theodolities.", IEEE Robotic automation conf 1986.
- [8] Chia Hsiang Meng "statistical measure and characterization of Robot Errors"IEEE Robotics and Automation 1985
- [9] Louis,J.Everett "A study of kinematic Model for forward calibration of manipulator", IEEE Robotics and Automation, Vol 2, p59-63, 1986